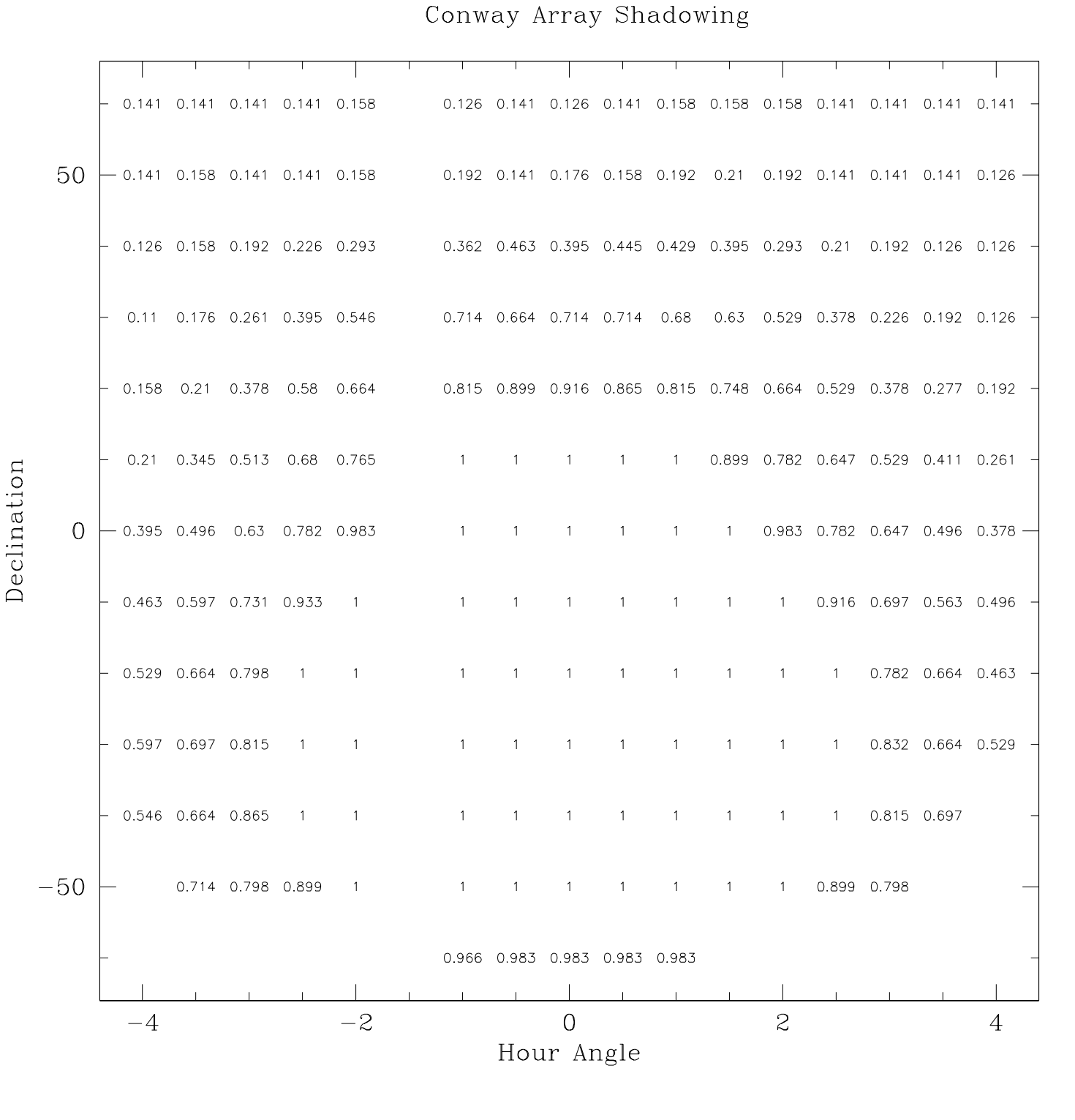
Conway Array Shadowing
0.141 0.141 0.141 0.141 0.158 0.126 0.141 0.126 0.141 0.158 0.158 0.158 0.141 0.141 0.141 0.141
0.141 0.158 0.141 0.141 0.158 0.192 0.141 0.176 0.158 0.192 0.21 0.192 0.141 0.141 0.141 0.126
0.126 0.158 0.192 0.226 0.293 0.362 0.463 0.395 0.445 0.429 0.395 0.293 0.21 0.192 0.126 0.126
0.11 0.176 0.261 0.395 0.546 0.714 0.664 0.714 0.714 0.68 0.63 0.529 0.378 0.226 0.192 0.126
0.158 0.21 0.378 0.58 0.664 0.815 0.899 0.916 0.865 0.815 0.748 0.664 0.529 0.378 0.277 0.192
0.21 0.345 0.513 0.68 0.765 1 1 1 1 1 0.899 0.782 0.647 0.529 0.411 0.261
0.395 0.496 0.63 0.782 0.983 1 1 1 1 1 1 0.983 0.782 0.647 0.496 0.378
0.463 0.597 0.731 0.933 1 1 1 1 1 1 1 1 0.916 0.697 0.563 0.496
0.529 0.664 0.798 1 1 1 1 1 1 1 1 1 1 0.782 0.664 0.463
0.597 0.697 0.815 1 1 1 1 1 1 1 1 1 1 1 0.832 0.664 0.529
0.546 0.664 0.865 1 1 1 1 1 1 1 1 1 1 1 0.815 0.697
0.714 0.798 0.899 1 1 1 1 1 1 1 1 1 0.899 0.798
0.966 0.983 0.983 0.983 0.983
50
0
−50
Declination
−4
−2
0
2
4
Hour Angle